

4. Symmetrien und Erhaltungssätze

Symmetrie \leftrightarrow Erhaltungssatz
 verknüpft durch "Noether's Theorem" (Emmy Noether)
 Wenn immer es in einem physikalischen System eine zugrunde liegende Symmetrie gibt, kann man eine erhaltene physikalische Größe oder eine (" Ladung"-) Quantenzahl definieren

Beispiele aus der klassischen Physik:

Zeitvarianz unter Translation \leftrightarrow Impulserhaltung
 Rotationsinvarianz \leftrightarrow Drehimpulserhaltung

Quantenmechanik: Symmetrioperationen sind unitäre Transformationen $U \psi(\vec{r}, t) = \psi'(\vec{r}, t)$
 mit $UU^\dagger = 1$ (hermitesche konjugierte U^\dagger gleich U^{-1})

2 Typen von Transformationen:

- kontinuierliche Transformationen: U geht kontinuierlich in Einheitsoperator über (wie Translation) \rightarrow führen zu additiven Erhaltungssätzen
- diskontinuierliche Transformationen: immer diskrete Zustände $\psi' = U\psi$ (z.B. Zeitumkehr)
 \rightarrow führen zu multiplikativen Erhaltungssätzen

4.1. Additive Erhaltungssätze

el. Ladungserhaltung: wurde bereits von Pauli 1941 mit der Eichinvarianz der elektromagnetischen WW - keine absolute Skala für Potential - verknüpft. bei möglich unendlicher Reichweite. (Rev. Mod. Phys. 13, 203)

$\sum q_i = \text{konstant}$

exp. Tests: $e \rightarrow \nu \gamma$ $\tau > 4.6 \cdot 10^{26} \text{y}$; neues Exp am PSI am Beginn Datennahme

β -Zerfall des Neutrons $n \rightarrow p \nu_e \bar{\nu}_e$ vgl. mit $n \rightarrow p e^- \bar{\nu}_e$

$\frac{\Gamma(n \rightarrow p \nu \bar{\nu})}{\Gamma_{\text{tot}}} < 8 \cdot 10^{-27}$

Baryonzahlerhaltung: weise jedem Teilchen analog zu elektrischer Ladung Baryonzahl oder baryonische Ladung A zu.

Quarks haben $A = 1/3$, Antiquarks $A = -1/3$

$A = 1$ für $p, n, \Lambda, \Delta \dots$ alle Baryonen haben $A = 1$

$A = -1$ für $\bar{p}, \bar{n}, \bar{\Lambda}, \bar{\Delta} \dots$ " Anti " $A = -1$

frühe experimentell $\sum A_i = \text{konstant}$

Grenzwert z.B. aus Suche nach Protonzerfall $p \rightarrow e^+ + \pi^0$ $\tau > 1.6 \cdot 10^{33} \text{y}$ im Vergleich mit Alter des Universums von 10^{10} Jahren

aber: kein zwingender theoretischer Grund für Baryonzahlerhaltung; in einigen GUTs

zerfällt Proton auf Zeitskala $10^{29} - 10^{30}$ y
 → intensive Suche im letzten 20 Jahren

Leptonzahlerhaltung: 1953 als empirisches
 Gesetz von Kanopoulos & Mahwood eingeführt
 um Abwesenheit bestimmter Prozesse zu erklären.
 z.B. $\gamma \rightarrow e^+e^-$ oder $\gamma \rightarrow p\bar{p}$ im Feld eines 3. Teilchens
 aber wie $\gamma \rightarrow e^+p$ oder $\mu \rightarrow e\gamma$
 ~ Erhaltung einer Leptonenzahl in jeder
 Generation $L_e = 1$ für e^- und ν_e etc.
 empirisch ist ist Leptonzahl in jeder
 Generation erhalten

$$\boxed{\sum_i L_{ei} = \text{konstant}}$$

erste Evidenz, daß

ν_e und ν_μ verschieden: 1962 Brookhaven
 Nat. Lab. AGS

15 GeV $p + B \rightarrow \pi + X$

Wähle Zerfallskanal $\pi \rightarrow \mu + \nu_\mu$

stoppe Myon in 13.5 m Stahl (bis 17 GeV ok)

richte verbleibenden Stahl auf H-Target

beobachte mit 10t Funktorkammer was passiert

$\nu_\mu + p \rightarrow n + \mu^+$?
 $\nu_\mu + p \rightarrow n + e^+$?

} Unterschied elektrischer
 Ladung und min. Ladung
 des Teilchens

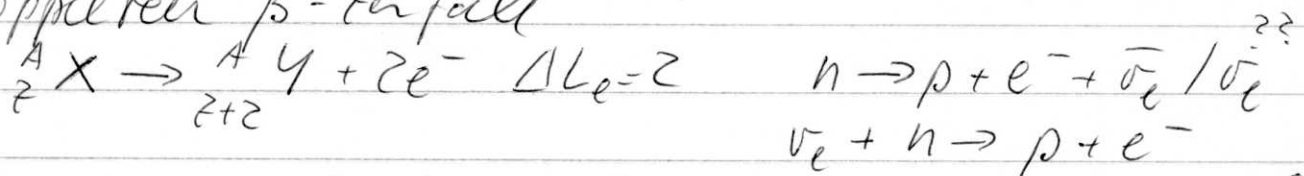
und 8 Neutronen und 10^{14} v auf Target:

56 Geignisse mit μ und 0 mit e , spät noch
 dramatisch verbessert → $\nu_e \neq \nu_\mu$

aber: inzwischen Neutrinooszillationen
 beobachtet ↔ Neutrinos mischen

mögliche, wenn Neutrinos Masse haben
(Maki et al 1962, Pontecorvo 1968): Masseneigen-
Zustände

und: sind identische ν und $\bar{\nu}$ wirklich
ausgeschlossen? Suche nach neutrinolosen
doppelten β -Zerfall



Heidelberg - Moskauer Exp.: 11.5 kg ${}^{76}\text{Ge}$ im Gran
Sasso Tunnel ($\rightarrow \text{As} \rightarrow \text{Se}$) $\tau = 1.9^{+16.8}_{-0.7} \cdot 10^{25} \text{y}$

Strangenesserhaltung: Seit Ende der 1940er
Jahre beobachtetes Puzzle: sogenannte V-Teil-
chen werden mit großer Wahrscheinlichkeit
produziert, aber zerfallen langsam

X ---  P oder π^+ Zerfall eines neutralen Teil-
chen (Lambda oder K^0) in 2
geladene Teilchen

bei einigen GeV Pionenergie ist Wirkungsquer-
schnitt für $\pi^- + p \rightarrow \Lambda + K^0$ $\sigma \approx 1 \text{mb} = 0.1 \text{b}$
typisch für starke WW. Aber Zerfallswerte
 $\Gamma_\Lambda = \frac{\hbar c}{\tau c} = \frac{197 \text{ MeV fm}}{10^{-10} \text{ s} \cdot 3 \cdot 10^{23} \text{ fm/s}} = 6.6 \cdot 10^{-12} \text{ MeV}$ Schwache WW

Vgl. $\Gamma_\Delta \approx 100 \text{ MeV}$ starke WW

Pais - Regel (1952): Kaonen und Lambdas wer-
den in starker WW produziert, aber zerfallen
schwach.

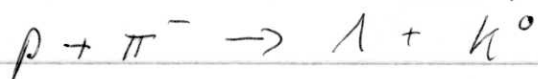
Grund: Erhaltung der Strangeness \rightarrow assoziiert

Produktion, d.h. Produktion in Paaren mit $S=+1$ und $S=-1$

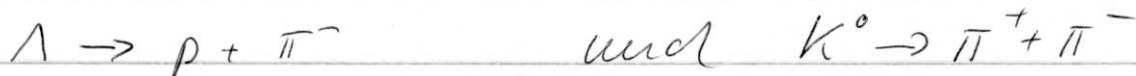
Stromgess 1953 von Gell-Mann und Nishijima 1953 (11 Jahre vor Quarks) eingeführt, um Pais-Regel zu erklären

$$\sum_i S_i = \text{konst für starke und elektromagn. WW}$$

$$\sum_i S_i \neq \text{konst für schwache WW}$$



$$S=0 \quad 0 \quad -1 \quad +1 \quad \checkmark$$



$$S=-1 \quad 0 \quad 0 \quad \Delta S=1 \quad +1 \quad 0 \quad 0 \quad \Delta S=-1$$

im schwachen Zerfall $\Delta S = \pm 1$ möglich

Isospin Erhaltung: Heisenberg 1932 - Neutron und Proton sind 2 Ladungszustände eines Teilchens, des Nukleons

belegt 1937 durch H. Bethe - Analyse von pp und pn Streudaten zeigt nach Abzug von Coulombeffekt, daß pp und pn WW gleich in Stärke und Reichweite ist. Ebenso Massen von ${}^3\text{H}$ und ${}^3\text{He}$ → führt zu Konzept des Isospins

Nukleon ist ein 2-Zustandssystem (Doublett) charakterisiert durch eine Quantenzahl Isospin von der es (in einem inneren Hilbertraum) 2 mögliche Orientierungen, p und n, gibt
 $I = 1/2$, $I_3(p) = +1/2$, $I_3(n) = -1/2$

Rotationen im Isospinraum durch Spinores analog zu Paulispinores

2-Nukleon-System: Symmetrisierung der Wellenfunktion analog 2-Elektronensystem bezüglich Spin; sym Triplett $pp \frac{1}{\sqrt{2}}(p_n + p_p) \quad n_n$
 antisym Singulett $\frac{1}{\sqrt{2}}(p_n - p_p)$ mit WF $\chi(I, I_3)$
 formal Triplett $\chi(1,1) \quad \chi(1,0) \quad \chi(1,-1)$
 Singulett $\chi(0,0)$

Atomkerne: Z Protonen, N Neutronen $A = N + Z$

$$\vec{I} = \sum_{i=1}^A \vec{I}_i \quad I_3 = \sum I_{3i}$$

$$\text{el. Ladung } Q = Ze = \sum_{i=1}^A q_i = e \sum_{i=1}^A (I_{3i} + 1/2) = e(I_3 + \frac{1}{2}A)$$

$$\sim I_3 = Z - \frac{1}{2}A$$

$= \frac{1}{2}(Z - N)$ fest für jeden Atomkern

aber für jeden Kern gibt es A Isospinvektoren je von Länge $1/2 \sim I_{\max} = \frac{1}{2}A = \frac{1}{2}(Z + N)$ und

$$\text{wegen } I_3 \sim I_{\min} = \frac{1}{2}|Z - N|$$

in jedem Atomkern kann es Zustände mit $\frac{1}{2}|Z - N| \leq I \leq \frac{1}{2}(Z + N)$ geben, jedem Zustand ist eine Quantenzahl I zugeordnet

Behachte in benachbarten Kernen ^{mit gleichem A (Isobaren)} Zustände mit gleichem I , sowie gleichem totalen Drehimpuls; I_3 natürlich unterschiedlich. Elektromagnetische WW bricht Isospin-Symmetrie der starken WW, aber nur etwas, da sie viel schwächer ist.

→ Zustände sind Isospin-doublets

Beispiel: ${}^7_3\text{Li}^4$ und ${}^7_4\text{Be}^3$ \Rightarrow Fig. 4-1

$$I_3 \quad \frac{1}{2}(3-4) = -1/2 \quad \frac{1}{2}(4-3) = +1/2 \quad I_{\min} = 1/2 \text{ für beide}$$

$$I_{\max} \quad \frac{1}{2}(3+4) = \frac{7}{2} \quad \text{für beide, alle niedriger}$$

Zustände sind $I = 1/2$

Energiedifferenz der Isobaren:

$$\begin{aligned} \Delta E &= E(A, Z+1) - E(A, Z) = \frac{\partial E}{\partial Z} (\Delta Z = 1) \\ &= \frac{\partial E_{cb}}{\partial Z} - \underbrace{(m_n - m_p)}_{1.29 \text{ MeV}} \end{aligned}$$

für gleichförmig geladene Kugel $E_{cb}(A, Z) = \frac{3}{5} \frac{(Ze)^2}{R}$

$$\frac{\partial E_{cb}}{\partial Z} = \frac{6}{5} \frac{Ze^2}{R} = \frac{6}{5} \frac{Ze^2}{1.2 \text{ fm} \cdot A^{1/3}}$$

für $Z=3$ und $A=7$ $\frac{\partial E_{cb}}{\partial Z} = 2.26 \text{ MeV}$

$\approx \Delta E = 2.26 - 1.29 = 0.97 \text{ MeV}$

im Vergleich zu Daten: $0.86 \text{ MeV} \rightarrow$

in Kernen eine gute Symmetrie

andere Hadronen: I_3 wird über Valenzquarks zugeordnet, $|I_3| \leq I$ Wert liegt fest, wenn gesamtes Multiplett bekannt

z.B. Pion $\pi^+ = u\bar{d}$ $I_3 = 1$ } Isospintriplett
 $\pi^- = \bar{u}d$ $I_3 = -1$ } mit $I = 1$
 $\pi^0 = u\bar{u} - d\bar{d}$ $I_3 = 0$

aber erhält I_3

Zerfall $\pi^0 \rightarrow \gamma\gamma$ $I=1 \sim I=0$ ein WW bricht I -Symm.

Lambda $\Lambda = uds$ hat keine geladenen Partner

$I_3 = 0, I = 0$

Zerfall $\Lambda \rightarrow p + \pi^-$ über schwache WW

	uds	$u\bar{d}$	$\bar{u}d$		} schwache WW verletzt Erhaltung von I, I_3, S
I_3	0	1/2	-1	$\Delta I_3 = -1/2$	
I	0	1/2	1	$\Delta I > 1/2$	
S	-1	0	0	$\Delta S = 1$	

4.2. Multiplikative Erhaltungssätze:

Parität: Symmetrie unter räumlicher Inversion

$$x, y, z \xrightarrow{P} -x, -y, -z$$

diskrete Transformations $P \Psi(\vec{r}) = \Psi(-\vec{r})$

offensichtlich $P^2 = 1$, d.h. um Betrag ± 1 möglich

$$P \Psi(\vec{r}) = \Psi(-\vec{r}) = \pi \cdot \Psi(\vec{r}) \quad \text{mit } \pi = \pm 1 \quad \begin{array}{l} +1 \text{ "gerade"} \\ -1 \text{ "ungerade"} \end{array}$$

polare
Vektoren kehren unter P ihr Vorzeichen um (\vec{r}, \vec{p}, \dots)
anderer wie \vec{L} sind in-variant

$$P L_x = (-y)(-p_z) - (-z)(-p_y) = L_x \text{ etc. "axiale Vektoren"}$$

Skalarprodukte von Vektoren: polar \cdot polar oder axial \cdot axial

"echte Skalare" \equiv invariant unter P

polar \cdot axial (z.B. $\vec{p} \cdot \vec{L}$) ändern ihr Vorzeichen

unter Paritäts Transformation "Pseudoskalare" Änderung

Transformation des räumlichen Anteils der Wellenfunktion:

wenn in Kugelkoordinaten ausgedrückt

$$\Psi(\vec{r}) = R(r) \sum Y_l^m(\vartheta, \varphi) \quad \text{mit } Y_l^m(\vartheta, \varphi) = P_l^m(\cos \vartheta) \exp(i m \varphi)$$

$$P(r, \vartheta, \varphi) = (r, \pi - \vartheta, \varphi + \pi)$$

$$P \exp(i m \varphi) = \exp(i m (\varphi + \pi)) = (-1)^m \exp(i m \varphi)$$

$$P P_l^m(\cos \vartheta) = P_l^m(\cos(\pi - \vartheta)) = (-1)^{l+m} P_l^m(\cos \vartheta)$$

$$\Rightarrow P Y_l^m(\vartheta, \varphi) = (-1)^{l+m} Y_l^m = (-1)^l Y_l^m$$

Parität ist multiplikative Quantenzahl \Leftrightarrow d.h.
bei Paritätserhaltung ist Produkt der Paritäten
aller beteiligten Teilchen und ihr Relativbewegung
erhalten

z.B. 2 Teilchensystem $\Psi = \Psi_\alpha(\vec{r}_\alpha) \Psi_\beta(\vec{r}_\beta) \Phi(\vec{r}_\alpha - \vec{r}_\beta)$

$$P \Psi = \pi_\alpha \pi_\beta \Psi_\alpha \Psi_\beta P \Phi = \pi_\alpha \pi_\beta (-1)^l \Psi \text{ wenn}$$

Φ durch Kugelfunktionen beschrieben werden können

Messungen zeigen: starke und em WW erhalten Parität

Beispiel: (angeregte) Zustände in Kernen können nach Parität klassifiziert werden \rightarrow solche nach "verbotenen" Zerfall

Sache nach α -Zerfall eines angeregten Zustands in ^{16}O mit $E^* = 8.87 \text{ MeV}$ und $J^\pi = 2^-$

$^{16}\text{O}^* \rightarrow ^{12}\text{C} + \alpha$ wenn Zerfall in Grundzustand $T = -1$ $+1$ $+1$ 0^+ von ^{12}C ; dann müsste $(-1)^l$ möglich sein, aber da $\Delta J = 2 \rightarrow l = 2$

d.h. Zerfall unmöglich, wenn Kernzustände in entweder $^{16}\text{O}^*$ oder ^{12}C Beimischung der entgegengesetzten Parität haben

erwartete Γ erlaubten α -Zerfall $\Gamma_\alpha = 60 \text{ keV}$, messen $\Gamma_\alpha < 2 \cdot 10^{-8} \text{ eV} \sim$ Reduktion um Faktor $3 \cdot 10^{-12}$

\sim Grund für mögliche Paritätsbeimischung in $^{16}\text{O}^*$ 10^{-6} in der Wellenfunktion

Paritätsverletzung in der schwachen WW: 1956 Analyse von T.D. Lee und C.N. Yang \rightarrow keine Evidenz für Paritätserhaltung in schwacher WW (Phys. Rev. 104 (1956) 254)

Vorschlag eines Experimentierens, Test, durchgeführt von Fran Wu & Ritab \Rightarrow β -Zerfall von polarisiertem

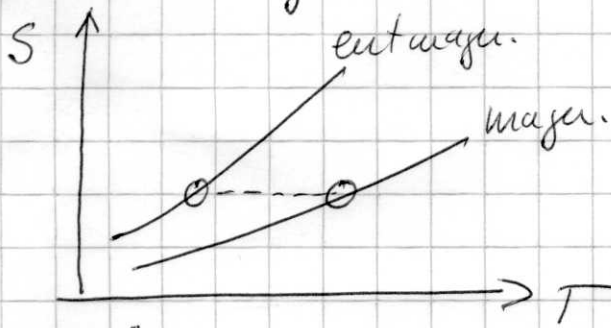
$^{60}\text{Co} \rightarrow ^{60}\text{Ni} + e^- + \bar{\nu}_e$ Kernspinspolarisation in Co-Salz durch statisches B-Feld bei sehr niedriger

Temperatur Bedingung $\mu_H B \gg kT$ für $S=1$ und $g=1$

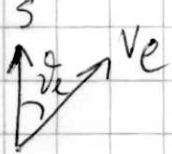
$\sim \mu_B = 1 \text{ MeV}$ $\mu_H = 3.15 \cdot 10^{-14} \text{ MeV/T} \sim kT \ll 3.15 \cdot 10^{-13} \text{ MeV}$

für $B = 10 \text{ T}$ d.h. $T \ll \frac{3.15}{8.6} \cdot 10^{-2} \text{ K}$

Kühlung durch adiabatische Entmagnetisierung
von CeMgMO_3



dann Messung von Bleihö-
hen mit Spin // zu Kernspin
im Vergleich zu Bleihöhe
mit Spin antiparallel
zu Kernspin (Umkehr B-Feld)



$$\langle \cos \theta \rangle = \left\langle \frac{\vec{s} \cdot \vec{v}}{|\vec{s}| |\vec{v}|} \right\rangle = \langle \Psi | \frac{\vec{s} \cdot \vec{v}}{|\vec{s}| |\vec{v}|} | \Psi \rangle < 0$$

Elektron präferenziell emittiert in Richtung
entgegenrecht zu Spin, d.h. Erwartungswert
eines Pseudoskalars $(\vec{s} \cdot \vec{v}) \neq 0$
d.h. Paritätsverletzung

Fig 4-

Gütschub 4-10a

Ladungskonjugation: Symmetrieoperation der Ladungs-

konjugation kehrt Vorzeichen aller Ladungsquan-
tenzahlen um

Sei $|H\rangle = |A, Q, S, L, \dots\rangle$ dann ergibt
 $C|H\rangle = |-H\rangle$ wie für Parität $C^2 = 1$

für mögliche Eigenzustände gilt

$$C\Psi = \eta_c \cdot \Psi \text{ mit mögl. Eigenwerten } \eta_c = \pm 1$$

allerdings sind die meisten Teilchen nicht
Eigenzustände von C

$$\text{z.B. } C|\pi^-\rangle = |\pi^+\rangle \neq \pm |\pi^-\rangle$$

nur völlig neutrale Teilchen können Eigenzu-
stände von C sein

Photon, hat $\eta_c = -1$ da E-Feld ein bewegtes
Ladungsträger sein Vorzeichen wechselt
n-Photon Zustände haben $\eta_c = (-1)^n$

$$\pi^0: \text{ Zerfall in } 2\gamma \quad C|\pi^0\rangle = +|\pi^0\rangle$$

Zerfall in 3γ würde C verletzen; frische $\frac{\Gamma_{\pi^0 \rightarrow 3\gamma}}{\Gamma_{\pi^0 \rightarrow 2\gamma}} < 3 \cdot 10^{-8}$

4-10a

Paritätszuordnung für Teilchen:

3 Zuordnungen pro Definition $\pi_p = \pi_n = \pi_\lambda \equiv +1$
1 pro additive Quantenzahl (Q, A, S)

Rest aus erlaubten Reaktionen in Z fallen

Antiproton $\pi_{\bar{p}} = -1$
Pion: $\pi_{\pi^-} = \pi_{\pi^0} = \pi_{\pi^+} = -1$

Fermion - Antifermion: entgegengesetzte Parität
Boson - Antiboson: gleiche Parität

alle Gluonbosonen haben $\pi = -1$ (γ, g, W, Z)

Atomkerne: gegeben durch L

4-11

starke und em WW sind invariant unter C
 z.B. Reaktion $p + \bar{p} \rightarrow \pi^+ \pi^- \pi^0$
 Winkelverteilung um π^+ und π^- und Energie-
 spektrum sind identisch

aber: schwache WW verletzt C-Symmetrie

frühe experimentell Neutrinos aus β -Zerfall sind
 immer links händig, d.h. $\leftarrow^s p$

und Antineutrinos sind rechts händig $\rightarrow^s \bar{p}$

